УДК 576.858.63

ИММУНОЛОГИЯ

А. П. ПЕРЕВОЗЧИКОВ, О. К. КУЗНЕЦОВ, Ю. П. ЗЕРОВ, Г. Ф. ПЛУЖНИКОВА, И. Ф. СЕЙЦ

РНК-ЗАВИСИМАЯ РНК-ПОЛИМЕРАЗА В ВИРИОНАХ ВИРУСА САРКОМЫ РАУСА

(Представлено академиком Е. М. Крепсом 30 Х 1972)

В вирионах многих сложных вирусов (гриппа, везикулярного стоматита и др.), содержащих одноцепочечную РНК, обнаружена РНК-зависимая РНК-полимераза (1, 5, 7) — фермент, обеспечивающий репликацию РНК вируса. РНК-содержащие опкогенные вирусы представляют собой группу, родственную по многим признакам вышеупомянутым вирусам. Открытая Теминым и Мизутапи (11), а также Бэлтимором (4) в вирионах РНК-содержащих онкогенных вирусов обратная транскриптаза способна обеспечить интеграцию генома онкогенного вируса и генома клетки, что влечет за собой трансформацию клеток. Однако вызывает некоторое сомнение способность этого фермента и связанного с ним ферментного комплекса (ДНК — ДНК-полимераза, лигаза и др.) обеспечить репликацию вирусной нуклеиновой кислоты (8). Это обстоятельство побудило нас предпринять новую попытку найти в вирионах вируса саркомы Рауса РНК-зависимую РНК-полимеразную активность, несмотря на неудачи предыдущих исследователей (4, 11).

В настоящей работе приводятся данные, свидетельствующие о существовании в вирионах вирусов саркомы Рауса (ВСР К-3) и лимфоидного лейкоза птиц (РАВ-1) РНК-полимеразной активности. Вирусы были накоплены в культуре куриных фибробластов, сконцентрированы и очищены (², ³). Степень чистоты вируса проверялась под электронным микроскопом и с помощью электрофореза РНК вируса в 2,5% полиакриламидном геле. Вирионы разрушали неионпым детергентом тритоном X-100 (0,5—1,0%) в течение 10 мин. при комнатной температуре в присутствии β-меркаптоэтанола (0,01%). В отличие от описанных рапее методик (⁴, ¹¹), по-

Таблица 1 Особенности РНК-синтезирующей активности впруса саркомы Рауса и продукта реакции

Объект исследования	У словия реакции	Включение Н³-УТФ, %
Разрушенные вирусные частицы	Полная система (ПС) ПС—АТФ, ГТФ, ЦТФ ПС + 40 µг/мл ДНКазы	100 4 120
Продукт реакции*	ПС+ 17 µг/мл актиномиципа D ПС + 200 µг/мл РНКазы ПС+ 30 µг/мл РНКазы Без обработки	85 55 50 100
	Обработано 50 µг/мл РНКазы 25 µг/мл ДНКазы	$\begin{array}{c} 52 \\ 105 \end{array}$

^{*} По окончании реакции производили экстракцию нуклеиновой кислоты в системе: фенол — 0,5% додецилсульфат Na; РНК осаждали из водной фазы 2 объемами спирта — 0,2 моля ацетата.

лученные гомогенаты подвергались диализу против фосфатно-солевого бу-

фера, чтобы освободиться от детергента.

Реакционная смесь содержала в 0,5 мл 40 µмол. трис-HCl-буфера (рН 7,8), 2 µмоля MgCl₂, 1,8 µмоля Mg(CH₃COO)₂, по 0,1 µмоля АТФ, ГТФ, ЦТФ и 0,5 µмоля УТФ, очищенных дополнительно на Дауэкс-1, 0,01% β -меркантоэтанола, 1—2 µCH³-УТФ (15 С / ммоль) («Amersham») и 0,1 мл вирусного белка (около 10^{8} фокусобразующих единиц вируса в 1 мл). Время инкубации 1 час, температура 37° . Реакцию останавливали добавлением равного объема 10% ТХУ кислоты.

При добавлении гомогената вируса (0,5—1,0 мг белка) в систему для обнаружения РНК-полимеразной активности наблюдалось включение метки в ТХУ-нерастворимую фракцию, которую собирали и промывали на нитроцеллюлозных фильтрах. Радиоактивность определялась в толуольном

сцинтилляторе в счетчике Марк-2 («Nuclear Chicago»).

В табл. 1 приводятся данные, характеризующие особенности РНК-синте-

зирующей активности и продукта реакции.

Как видно из табл. 1, включение метки в системе тормозится исключением трех НТФ и РНКазой и практически не зависит от ДНКазы и актиномицина D. Продуктом реакции является РНК. Исследование в параллельных опытах вируса лимфондного лейкоза птиц (РАВ-1), сходного по струк-

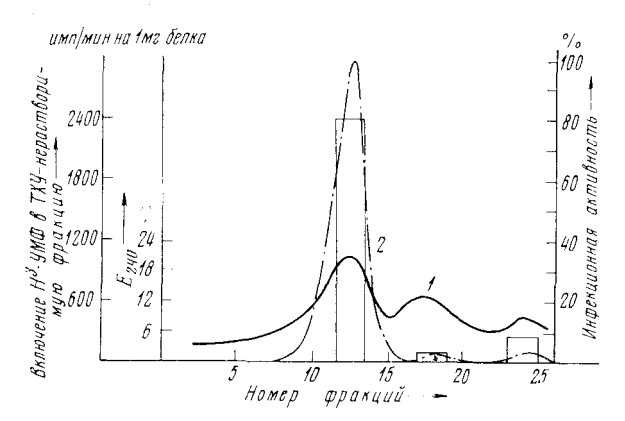


Рис. 1. Коседиментация полимеразной активности с частицами вируса саркомы Рауса. I — абсорбционный профиль элюции градиента сахарозы (15—60%); 2 — кривая инфекционной активности вируса. Величина столбиков представляет собой включение метки из H^3 -УТФ в имп/мин на 1 мг белка

туре с вирусом Рауса, также выявило наличие подобной полимеразной активности. РНК-полимеразная активность гомогенатов ВСР полностью инактивировалась при замораживании и оттаивании, тогда как в препаратах интактного вируса она выдерживала неоднократное замораживание (в ходе очистки вируса).

Полимеразная активность препаратов ВСР практически полностью коседиментирует при ультрацентрифугировании в градиенте сахарозы (15— 60%) с фракцией, имеющей максимум инфекционной активности (95%) и содержащей, по данным электронной микроскопии, целые вирионы (рис. 1). Описанпые данные позволили сделать заключение о связи исследуемой ферментативной активности с вирусными частицами.

Зависимость активности фермента от концентрации ионов ${
m Mg^{2+}}$ представляет обычную кривую с максимумом при концентрации ${
m Mg^{2+}}$ 7—

8 ммол/л.

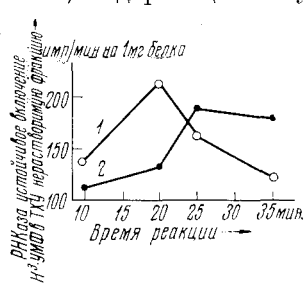
Предварительные данные по отжигу продукта реакции (по методу Бэлтимора и др. (5)) с РНК ВСР и гетерологичной РНК микоплазмы птиц

(Muc. gallisepticum) показали, что наибольшей устойчивостью к РНКазе обладает гибридный комплекс РНК вируса — РНК продукта реакции. Это свидетельствует о матричном характере реакции.

При постановке опытов с препаратами вируса, содержащими частично деградированную в результате хранения при 4° РНК, в отличие от вышеприведенных данных, отмечалось повышенное включение Н³-УТФ в кислотонерастворимый продукт в отсутствие остальных нуклеозидтрифосфатов (табл. 2), причем величина включения была пропорциональна времени хранения вируса.

Как видно из табл. 2, включение метки было значительно выше в присутствии лишь одного УТФ, чем в полной системе, содержащей 4 нуклео-

Рис. 2. Кинетика включения H^3 -УТФ в препараты вируса, предварительно инкубированные с РНКазой. I — кривая включения метки в препараты вируса, предварительно инкубированные с 5 μ г РНКазы; 2 — кривая включения метки в препараты вируса, не подвергавшиеся предварительной обработке РНКазой. РНКаза (5 μ г) добавлялась в реакционную смесь



зидтрифосфата. Величина включения в данном случае достигала максимальной величины при более высокой концентрации Mg²⁺ (16,6 мM), чем в стандартной системе. Включение еще более стимулировалось при добавлении к реакционной смеси небольших концентраций PHКазы (15 µг/мл). Это явление можно объяснить синтезом гомополимеров на матрице сравнительно коротких гомополинуклеотидов (возможно, по принципу скользящего синтеза гомополимеров) (6). Существование последовательностей поли-А у онкогенных PHК-содержащих вирусов показано (9, 10), причем сегменты PHK, богатые аденином, обладают повышенной резистентностью

Таблица 2 Включение Н³-УТФ препаратами¶вируса саркомы Рауса, содержащими частично деградированную матрицу

Условия реакции*	Включение Н ³ -УТФ в имп/мин на 1 мг бел- ка при 16,6 мМ Мg ² +
АТФ, ГТФ, УТФ, ЦТФ АТФ, ГТФ, УТФ, ЦТФ $+ 15 \mu \Gamma/M \Pi$	1950
РНКазы УТФ УТФ + 15 µг/мл РНКазы	1000 8500 9700

^{*} Различия в реакционной смеси обусловливались наличием указанных нуклеозидтрифосфатов.

к действию панкреатической РНКазы (10). Естественно предположить, что такой синтез должен стимулироваться при частичной деградации РНК матрицы и освобождении гомополимерных последовательностей, что и наблюдалось в нашем случае. В связи с вышеприведенными фактами возникла необходимость проверить влияние частичной деградации РНК вируса саркомы Рауса на ее способность служить в качестве матрицы.

На рис. 2 представлены данные по кинетике включения метки препаратами вируса, предварительно инкубированными или неинкубированными с РНКазой. В пробах, где РНКаза добавлялась только в момент начала реакции, включение достигало максимума позднее и спад был более пологий, чем в параллельных пробах, предварительно обработанных РНКазой. Ве-

личина включения метки на ранних стадиях реакции в пробах, предварительно обработанных РНКазой, была заметно выше, чем в необработанных хотя на более поздних стадиях наблюдалась обратная зависимость.

Результаты опытов по кинетике и по действию РНКазы в полной системе и в системе без нуклеотидтрифосфатов позволяют предположить, что деградированная в незначительной степени РНК вируса Рауса служит более эффективной матрицей РНК-зависимого синтеза РНК, чем интактная РНК, как в полной системе, так и в системе с одпим УТФ. В то же время при более глубоком гидролизе РНК ее матричные свойства исчезают, так что наблюдаемое уменьшение включения объясняется гидролизом и матрины, и продукта реакции.

Представенные даппые пока не позволяют с полной уверенностью утверждать, что мы имеем дело с ферментом матричного конпрования РНК вируса (репликазой). Нельзя исключить альтернативное предположение, что исследуемый фермент является концевой РНК-синтетазой, достраивающей гомополирибонуклеотидные цепи (поли-У) к вирусной РНК, хотя существование подобного фермента трудно объяснить с точки зрения современных представлений о репродукции РНК-содержащих вирусов.

Таким образом, приведенные результаты свидетельствуют о паличии в вирионах ВСР РНК-зависимой РНК-полимеразой активности, свойства которой более подробно изучаются в настоящее время.

Выражаем глубокую благодарность Г. А. Савостьянову за проведение электронно-микроскопических исследований.

Научпо-исследовательский институт онкологии им. Н. Н. Петрова Ленипград Поступило 20 X 1972

ПИТИРОВАННАЯ ЛИТЕРАТУРА

¹ В. И. Агол, И. Г. Атабеков и др., Молекулярная биология вирусов, «Наука», 1971. ² О. К. Кузнецов, А. М. Дядькова, Вопр. опкол., 15, 2, 52 (1969). ³ С. Altaner, H. Temin, Virology, 40, 118 (1970). ⁴ D. Baltimore, Nature, 226, 1209 (1970). ⁵ D. Baltimore, A. Huang, M. Stampfer, Proc. Nat. Acad. Sci. U. S. A., 66, 572 (1970). ⁶ M. Chamberlin, P. Berg, ibid., 48, 81 (1962). ⁷ R. Francki, I. Randles, Virology, 47, 270 (1972). ⁸ R. Gallo, Nature, 234, 194, 227 (1972). ⁹ D. Gillespie, S. Marshall, R. Gallo, Nature New Biology, 236, 227 (1972). ¹⁰ M. Lai, P. Duesberg, Nature, 235, 383 (1972). ¹¹ H. Temin, S. Mizutani, Nature, 226, 1211 (1970).